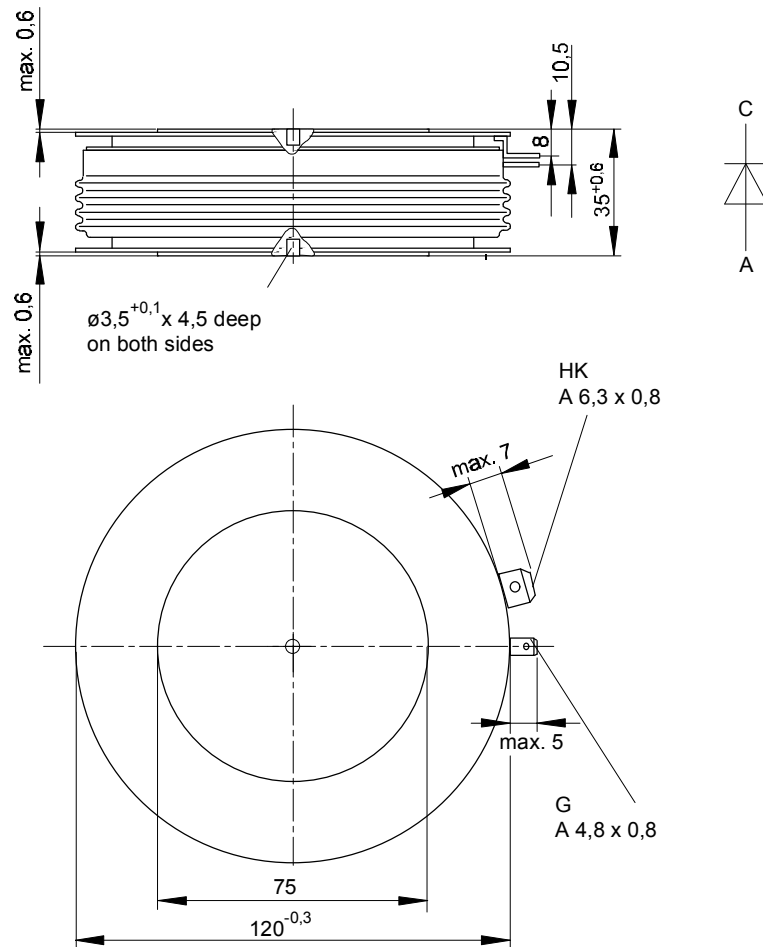




European Power-
Semiconductor and
Electronics Company

Marketing Information T 2601 N



T 2601 N

Elektrische Eigenschaften		Electrical properties				
<i>Höchstzulässige Werte</i>		<i>Maximum rated values</i>				
Periodische Vorwärts- und Rückwärts-Spitzenperrspannung		repetitive peak forward off-state and reverse voltages	$t_{vj} = -40^\circ\text{C} \dots t_{vj \max}$	V_{DRM}, V_{RRM}	4800 5000 5200	V
Vorwärts-Stoßspitzenperrspannung		non-repetitive peak forward off-state voltage	$t_{vj} = -40^\circ\text{C} \dots t_{vj \max}$	$V_{DSM} = V_{DRM}$	4800 5000 5200	V
Rückwärts-Stoßspitzenperrspannung		non-repetitive peak reverse voltage	$t_{vj} = +25^\circ\text{C} \dots t_{vj \max}$	$V_{RSM} = V_{RRM}$	4900 5100 5300	V
Durchlaßstrom-Grenzeffektivwert		RMS on-state current		I_{TRMSM}	5500	A
Dauergrenzstrom		average on-state current	$t_c = 85^\circ\text{C}$	I_{TAVM}	2600	A
			$t_c = 65^\circ\text{C}$		3500	A
Stoßstrom-Grenzwert		surge current	$t_{vj} = 25^\circ\text{C}, t_p = 10 \text{ ms}$	I_{TSM}		A
Grenzlastintegral		$I^2 t$ -value	$t_{vj} = t_{vj \max}, t_p = 10 \text{ ms}$	$I^2 t$	57000 ¹⁾	$\text{A}^2 \text{s}$
Kritische Stromsteilheit		critical rate of rise of on-state current	$t_{vj} = 25^\circ\text{C}, t_p = 10 \text{ ms}$		16 . 10 ⁶	$\text{A}^2 \text{s}$
			$t_{vj} = t_{vj \max}, v_D = 67\% V_{DRM}, f = 50 \text{ Hz}$	$(di_T/dt)_{cr}$	50	$\text{A}/\mu\text{s}$
Kritische Spannungssteilheit		critical rate of rise of off-state voltage	$i_{GM} = 1,5 \text{ A}, di_G/dt = 1,5 \text{ A}/\mu\text{s}$			
			$t_{vj} = t_{vj \max}, v_D = 67\% V_{DRM}$	$(dv/dt)_{cr}$	2000	$\text{V}/\mu\text{s}$
Charakteristische Werte		Characteristic values				
Durchlaßspannung		on-state voltage	$t_{vj} = t_{vj \max}, i_T = 10,5 \text{ kA}$	v_T	max. 3,16	V
Schleusenspannung		threshold voltage	$t_{vj} = t_{vj \max}$	$V_{T(TO)}$	1,13	V
Ersatzwiderstand		slope resistance	$t_{vj} = t_{vj \max}$	r_T	0,18	$\text{m}\Omega$
Zündstrom		gate trigger current	$t_{vj} = 25^\circ\text{C}, v_D = 6 \text{ V}$	I_{GT}	max. 300	mA
Zündspannung		gate trigger voltage	$t_{vj} = 25^\circ\text{C}, v_D = 6 \text{ V}$	V_{GT}	max. 2,5	V
Nicht zündender Steuerstrom		gate non-trigger current	$t_{vj} = t_{vj \max}, v_D = 6 \text{ V}$	I_{GD}	max. 20	mA
			$t_{vj} = t_{vj \max}, v_D = 0,5 V_{DRM}$		max. 10	mA
Nicht zündende Steuerspannung		gate non-trigger voltage	$t_{vj} = t_{vj \max}, v_D = 0,5 V_{DRM}$	V_{GD}	max. 0,4	V
Haltestrom		holding current	$t_{vj} = 25^\circ\text{C}, v_D = 12 \text{ V}, R_A = 4,7 \Omega$	I_H	max. 350	mA
Einraststrom		latching current	$t_{vj} = 25^\circ\text{C}, v_D = 12 \text{ V}, R_{GK} \geq 10 \Omega$	I_L	max. 2000	mA
			$i_{GM} = 1 \text{ A}, di_G/dt = 1 \text{ A}/\mu\text{s}, t_g = 20 \mu\text{s}$			
Vorwärts- und Rückwärts-Sperrstrom		forward off-state and reverse currents	$t_{vj} = t_{vj \max}, v_D = V_{DRM}, v_R = V_{RRM}$	i_D, i_R	max. 430	mA
Zündverzug		gate controlled delay time	$t_{vj} = 25^\circ\text{C}, i_{GM} = 1 \text{ A}, di_G/dt = 1 \text{ A}/\mu\text{s}$	t_{gd}	max. 2,3	μs
Freiwerdezeit		circuit commutated turn-off time	siehe Techn. Erl./see Techn. Inf.	t_q	typ. 450	μs
Thermische Eigenschaften		Thermal properties				
Innerer Wärmewiderstand für beidseitige Kühlung		thermal resistance, junction to case for two-sided cooling	$\Theta = 180^\circ \text{ el, sin}$	R_{thJC}	max. 0,0059	$^\circ\text{C}/\text{W}$
			DC		max. 0,0055	$^\circ\text{C}/\text{W}$
Übergangs-Wärmewiderstand		thermal resistance, case to heatsink	beidseitig/two-sided	R_{thCK}	max. 0,0015	$^\circ\text{C}/\text{W}$
Höchstzul. Sperrschiichttemperatur		max. junction temperature		$t_{vj \max}$	120	°C
Betriebstemperatur		operating temperature		t_{cop}	-40...+120	°C
Lagertemperatur		storage temperature		t_{slg}	-40...+150	°C
Mechanische Eigenschaften		Mechanical properties				
Si-Elemente mit Druckkontakt		Si-pellet with pressure contact				
Anpreßkraft		clamping force		F	63...91	kN
Gewicht		weight		G	typ. 3000	g
Kriechstrecke		creepage distance			33	mm
Feuchtekategorie		humidity classification	DIN 40040			C
Schwingfestigkeit		vibration resistance	f = 50 Hz		50	m/s^2
Maßbild, anliegend		outline, attached				

¹⁾ Gehäusegrenzstrom 40 kA (Sinushalbwelle 50 Hz)/Current limit of case 40 kA (sinusoidal half-wave 50 Hz)

T 2601 N

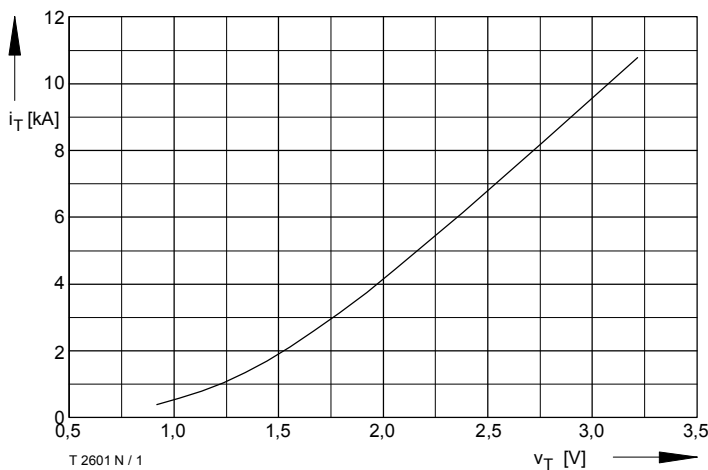


Bild / Fig. 1
Grenzdurchlaßkennlinie / Limiting on-state characteristic
 $i_T = f(v_T)$, $t_{vj} = t_{vj \max}$

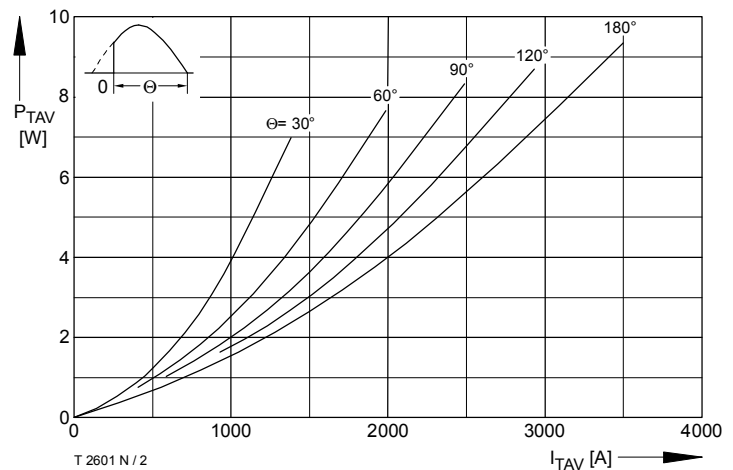


Bild / Fig. 2
Durchlaßverlustleistung / On-state power loss $P_{TAV} = f(I_{TAV})$
Parameter: Stromflußwinkel / Current conduction angle θ

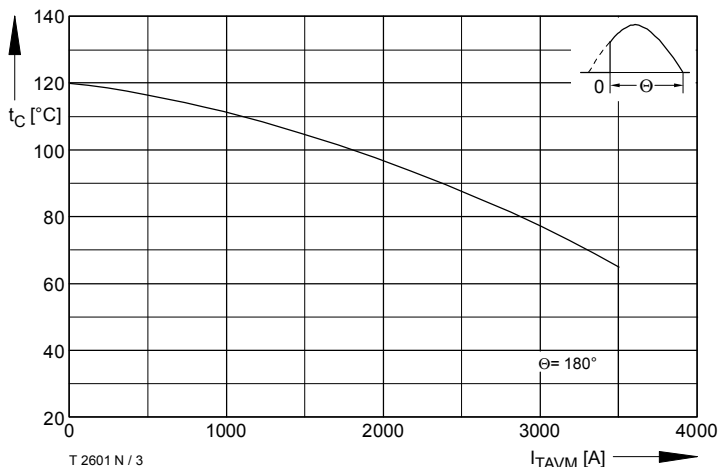


Bild / Fig. 3
Höchstzulässige Gehäusetemperatur / Max. allowable case temperature
 $t_C = f(I_{TAVM})$
Beidseitige Kühlung / Two-sided cooling
Parameter: Stromflußwinkel / Current conduction angle θ
Berechnungsgrundlage P_{TAV} (Schaltverluste gesondert berücksichtigen) / Calculation base P_{TAV} (switching losses should be considered separately)

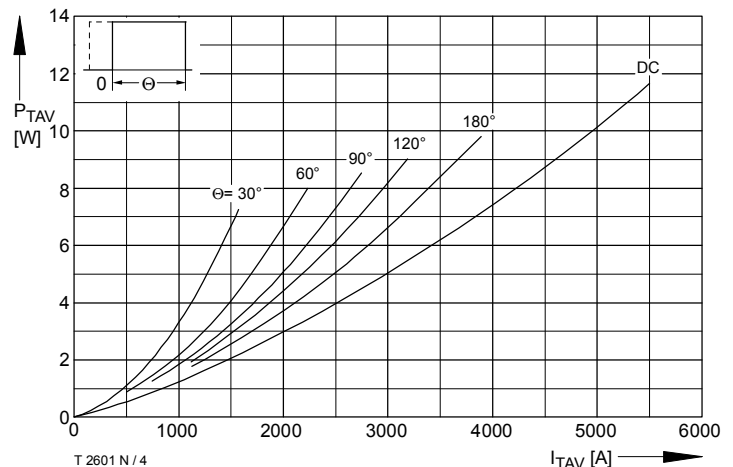


Bild / Fig. 4
Durchlaßverlustleistung / On-state power loss $P_{TAV} = f(I_{TAV})$
Parameter: Stromflußwinkel / Current conduction angle θ

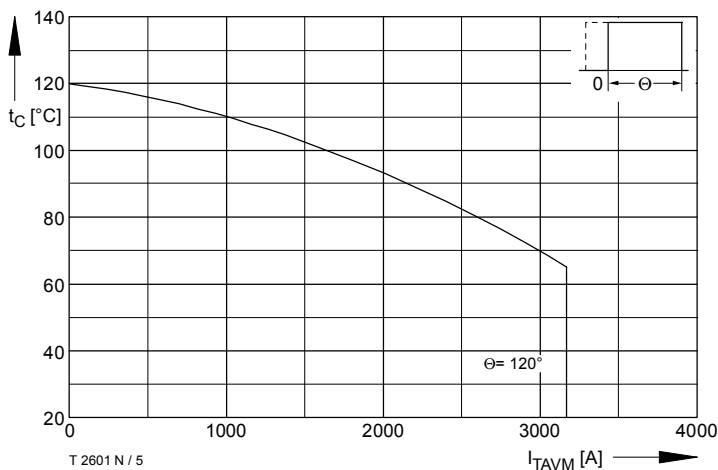


Bild / Fig. 5
Höchstzulässige Gehäusetemperatur / Max. allowable case temperature
 $t_C = f(I_{TAVM})$
Beidseitige Kühlung / Two-sided cooling
Parameter: Stromflußwinkel / Current conduction angle θ
Berechnungsgrundlage P_{TAV} (Schaltverluste gesondert berücksichtigen) / Calculation base P_{TAV} (switching losses should be considered separately)

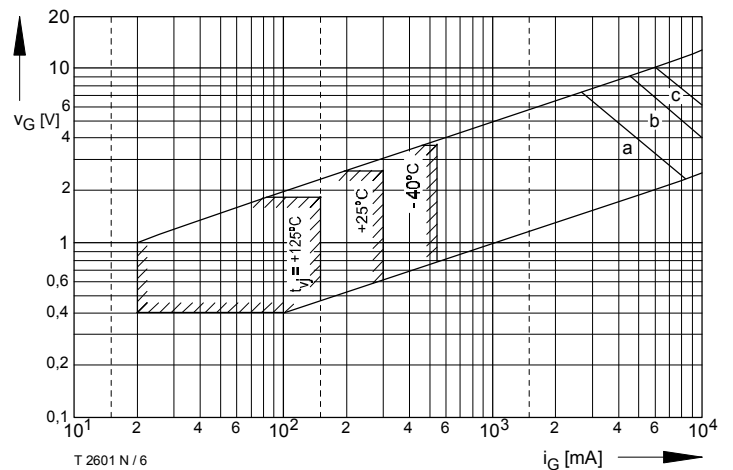


Bild / Fig. 6
Steuercharakteristik mit Zündbereichen / Gate characteristic with triggering areas
 $v_G = f(I_G)$, $V_D = 6 \text{ V}$
Parameter:
a b c
Steuerimpulsdauer / trigger pulse duration t_g [ms] 10 1 0,5
Höchstzulässige Spitzensteuerverlustleistung / Max. rated peak gate power dissipation [W] 20 40 60

T 2601 N

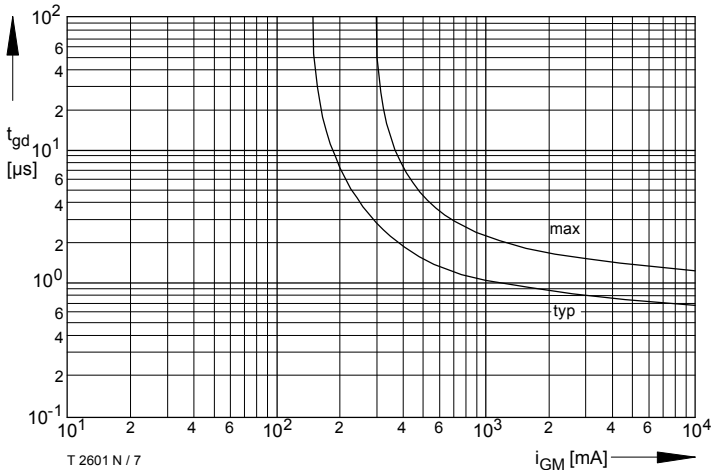


Bild / Fig. 7
Zündverzug / Gate controlled delay time $t_{gd} = f(i_{GM})$
 $t_{vj} = 25^\circ\text{C}$, $di_G/dt = i_{GM}/1\mu\text{s}$

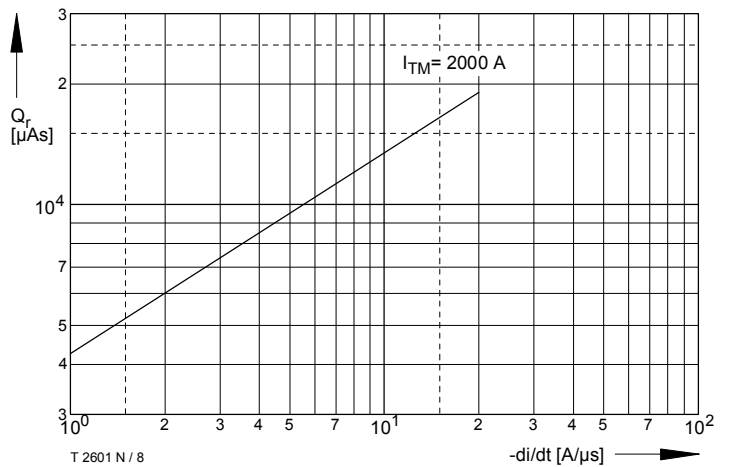


Bild / Fig. 8
Sperrverzögerungsladung / Recovered charge $Q_r = f(di/dt)$
 $t_{vj} = t_{vj} \text{ max}$; $V_R = 0,5 V_{RRM}$; $V_{RM} = 0,8 V_{RRM}$
Parameter: Durchlaßstrom / On-state current i_{TM}

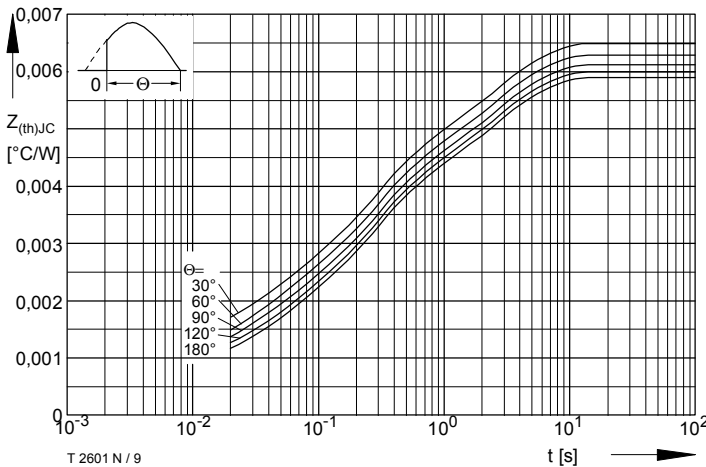


Bild / Fig. 9
Transienter innerer Wärmewiderstand / Transient thermal impedance
 $Z_{thJC} = f(t)$
Parameter: Stromflußwinkel / current conduction angle θ

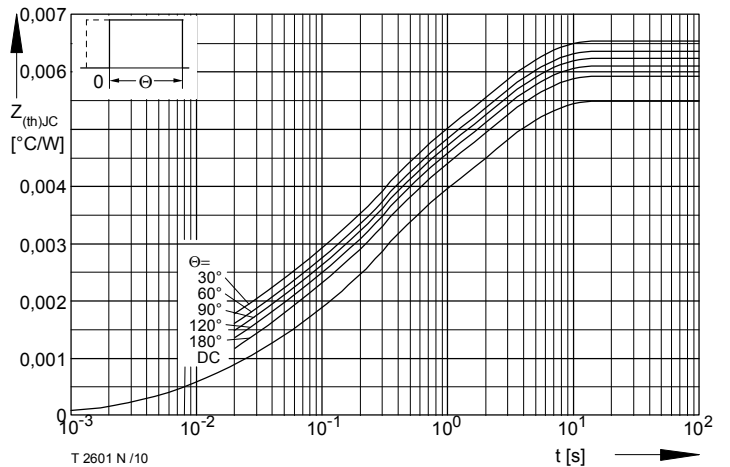


Bild / Fig. 10
Transienter innerer Wärmewiderstand / Transient thermal impedance
 $Z_{thJC} = f(t)$
Parameter: Stromflußwinkel / current conduction angle θ

Analytische Elemente des transienten Wärmewiderstandes Z_{thJC} pro Zweig für DC
Analytical elements of transient thermal impedance Z_{thJC} per arm for DC

Pos. n	1	2	3	4	5
$R_{thn} [^\circ\text{C}/\text{W}]$	0,00029	0,00055	0,00042	0,00216	0,00208
$\tau_n [\text{s}]$	0,0055	0,0195	0,09	0,25	2,7

Analytische Funktion / Analytical function:

$$Z_{thJC} = \sum_{n=1}^{n_{\max}} R_{thn} (1 - e^{-\frac{t}{\tau_n}})$$